

*A.B. Сліпкань, Д.Є. Китова, О.В. Штеменко*

## НАНОЧАСТИНКИ ЦИРКОНІЙ ГІДРОФОСФАТУ, НАВАНТАЖЕНІ ТРИХЛОРОТРИ- $\mu$ -КАРБОКСИЛАТАМИ ДИРЕНІЮ(ІІІ)

**ДВНЗ «Український державний хіміко-технологічний університет», м. Дніпро**

Синтезовано наночастинки цирконій гідрофосфату, навантажені трихлоротри- $\mu$ -карбоксилатами диренію(ІІІ) загальної формули  $Re_2(RCOO)_3Cl_3$  (де  $R=C_2H_5$ ,  $C_3H_7$ ,  $i-C_3H_7$ ). Процес інтеркаляції здійснювали в середовищі ацетонітрилу. Одержані наночастинки з навантаженням комплексу диренію(ІІІ) у співвідношенні речовина/ $ZrP$  1:5 та 1:30 аналізували методами електронної та ІЧ-спектроскопії, порошкової рентгенівської дифракції та методом гравіметричного аналізу. Також було досліджено поведінку комплексної сполуки в обраному розчиннику та підтверджено, що перетворення, яких зазнає комплексна сполука в результаті процесу інтеркаляції, не пов'язані з впливом середовища. Дифрактограма зразків обох співвідношень вказує на збільшення міжшарової відстані цирконій гідрофосфату з 7,6 Å до 12,1 Å, що свідчить про успішну інтеркаляцію сполуки диренію(ІІІ) у шари неорганічної матриці. Враховуючи дані всіх використаних методів аналізу, можна вважати, що в результаті реакції відбувається утворення сполуки цис-структурного типу з двома фосфатними та двома карбоксилатними групами в екваторіальному положенні та ацетонітрилом в аксіальному положенні. Швидкість вивільнення речовини у кислому середовищі, яке моделює середовище клітини пухлини, склада 2 год 45 хв.

**Ключові слова:** комплексні сполуки диренію(ІІІ), цирконій гідрофосфат, інтеркаляція, шаруваті наночастинки, синтез.

### *Вступ*

На даний час дослідження координаційних сполук перехідних елементів стали більш структурованими відповідно до можливих галузей практичного застосування нових сполук, а їх синтез став більш цілеспрямованим. Серед різноманіття корисних властивостей комплексів перехідних елементів [1] усе більшого значення набувають біядерні кластери ренію(ІІІ), які проявляють протипухлинні, нефро- та гепатопротекторні властивості за рахунок наявності почверного зв'язку  $Re-Re$  [2]. Але при створенні лікарських препаратів мало знайти речовину з корисними властивостями, вкрай важливим є вибір способу доставки активної речовини до клітини-мішені. У наших попередніх роботах [3–5] було вивчено процес інтеркаляції комплексних сполук диренію(ІІІ) тетра-, trans- та cis- структурних типів у неорганічні матриці цирконій гідрофосфату ( $ZrP$ ). Ці неорганічні наночастинки за рахунок зміни розмірів міжшарового простору можуть інтеркалювати біологічно активні молекули великих розмірів, таким чином захи-

щаючи їх від впливу навколошнього середовища та підвищуючи термін зберігання. Такий спосіб доставки робить можливим застосування ліків у пероральній формі, захищаючи активну речовину від дії травних ферментів [6].  $ZrP$  стійкий у середовищі крові тіла здорової людини і дисоціє в кислому середовищі клітини пухлини, що робить можливим pH-націлену доставку препарату [7]. Було встановлено, що інтеркаляція комплексних сполук диренію(ІІІ) у шари  $ZrP$  проходить за рахунок координації фосфатних груп неорганічної матриці до комплексної сполуки, тим самим фіксуючи та захищаючи кластерний фрагмент  $Re-Re$ , який проявляє протипухлинні властивості [4].

У даній роботі нами було досліджено процес інтеркаляції трихлоротри- $\mu$ -карбоксилатів диренію(ІІІ) у наночастки  $ZrP$ . Трикарбоксилати диренію(ІІІ) – кристали фіолетового кольору, які побудовані із ланцюжка димерів з почверним зв'язком  $Re-Re$ . Екваторіальна частина комплексу складається з двох центральних атомів Ренію, двох атомів Хлору і трьох місточ-

кових карбоксилатних груп (рис. 1). Третій атом Хлору займає положення аксіального ліганду одночасно в двох сусідніх димерах (тим самим його можна вважати міжмолекулярним місточком), зв'язуючи таким чином димери в нескінченні ланцюжки [8].

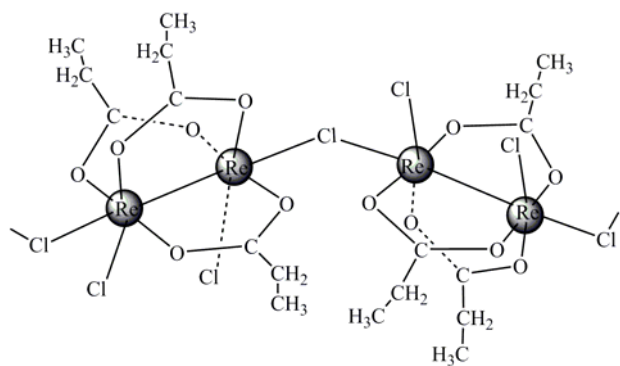
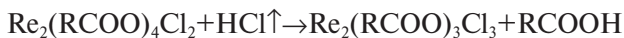


Рис. 1. Структурна формула димеру  $\text{Re}_2(\text{C}_2\text{H}_5\text{COO})_3\text{Cl}_3$

### **Матеріали та методи**

$\theta\text{-Zr}(\text{HPO}_4)_2$  було отримано за методикою Марті і Колона [9]. До 200 мл водного розчину  $\text{ZrOCl}_2 \cdot 8\text{H}_2\text{O}$  (0,05 М) додавали 200 мл  $\text{H}_3\text{PO}_4$  ( $\text{C}=6$  моль/л). Розчин  $\text{H}_3\text{PO}_4$  попередньо нагрівали до температури  $94^{\circ}\text{C}$  у круглодонній колбі об'ємом 500 мл до додавання  $\text{ZrOCl}_2$ . Отриманий розчин постійно перемішували за температури  $94^{\circ}\text{C}$ .  $\theta\text{-Zr}(\text{HPO}_4)_2$  – желеподібна речовина, яку зберігали під шаром дистильованої води.

Трихлоротри- $\mu$ -карбоксилати диренію(ІІІ) раніше отримували за методикою [8], для чого до транс-тетрахлороди- $\mu$ -карбоксилату диренію(ІІІ) додавали відповідну карбонову кислоту та отримували кристали фіолетового кольору. Однак такий спосіб виявився витратним, адже більша частина вихідної сполуки диренію(ІІІ) залишався у транс-конфігурації, і лише мала частина утворювала цільовий продукт, вихід якого складав лише 20–30%. Крім того цей процес міг займати декілька годин. Тому нами було запропоновано нову методику, де через капіляр з тетрахлороди- $\mu$ -карбоксилатом диренію(ІІІ) пропускали газоподібний  $\text{HCl}$  при нагріванні ( $150^{\circ}\text{C}$  для тетрахлороди- $\mu$ -пропіонату диренію(ІІІ) та  $190^{\circ}\text{C}$  для тетрахлороди- $\mu$ -бутирату диренію(ІІІ)) протягом 30 хв. В результаті одержували кристали фіолетового кольору. Вихід продукту  $\approx 80\%$ . Такий спосіб дає змогу отримувати цільову речовину швидше та з більшим виходом:



Процес інтеркаляції здійснювали в ацетонітрилі у мольному співвідношенні речовина/ $\text{ZrP}$  1/5 та 1/30, які, виходячи з літературних даних, показали найкращі результати в ході реакції [7]. Суспензію перемішували на магнітній мішалці протягом 5 діб. За процесом стежили за допомогою електронної спектрофотометрії, де стала картина із характеристичною смugoю поглинання на ділянці  $16300 \text{ cm}^{-1}$  вказувала на закінчення процесу.

Одержаній осад блакитного кольору промивали водою та висушували у муфельній шафі за температури  $80\text{--}100^{\circ}\text{C}$ .

Міжшарову відстань визначали методом рентгенівської порошкової дифракції з використанням рентгенівського дифрактометра ДРОН-2 в монохроматизованому  $\text{Co-K}_{\alpha}$  випромінені ( $\lambda=1,54178 \text{ \AA}$ ).

Спектроскопічні дослідження процесів інтеркаляції кластерних сполук диренію(ІІІ) у шарі  $\text{ZrP}$  здійснювали в ацетонітрилі ( $\text{C}=5 \cdot 10^{-4} \text{ M}$ ) на спектрофотометрі "Specord M-40" в області  $45000\text{--}11000 \text{ cm}^{-1}$  та на спектрофотометрі СФ-26 у діапазоні  $25000\text{--}8500 \text{ cm}^{-1}$ .

ІЧ-спектри продуктів інтеркаляції реєстрували у діапазоні  $4000\text{--}400 \text{ cm}^{-1}$  на ІЧ-спектрофотометрі FT-IR Spectrum BX, компанії Perkin Elmer у таблетках в KBr.

Елементний аналіз виконували додаванням до реакційного розчину  $\text{AgBF}_4$ , який отримували реакцією між  $\text{AgNO}_3$  та  $\text{HBF}_4$ . Осад  $\text{AgCl}$ , що утворився, висушували та зважували, розраховували кількість іонів  $\text{Cl}^-$ , присутніх у розчині.

Сканувальна електронна мікроскопія (СЕМ) зразків була проведена за допомогою JEOL JSM-6390LV сканувального електронного мікроскопа при напрузі 10 кВ. Швидкість обертання диска 50–600 об./хв, швидкість обертання зразків 50–150 об./хв.

Контроль вивільнення речовини було виконано у розчині, що імітує плазму людської крові (рН 7,4) та в ацетатному буфері (рН 4,5). 0,5% суспензію продукту інтеркаляції перемішували зі швидкістю 100 об./хв за температури  $37^{\circ}\text{C}$ . Через певні інтервали часу відбирали аліквоту 8 мл та центрифугували 1 хв. Контроль вивільнення здійснювали за допомогою спектрофотометричних досліджень на ділянці  $25000\text{--}8500 \text{ cm}^{-1}$ . Процент вивільнення було розраховано за формулою

$$\% = \frac{A_t}{A_{\max}} \times 100\%,$$

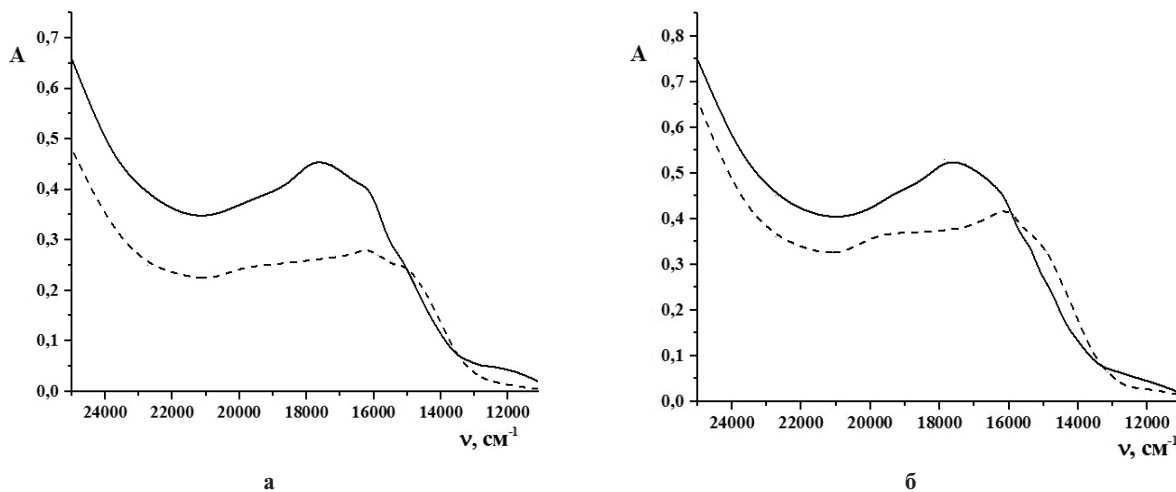


Рис. 2. Електронні спекти поглинання: а – системи  $\text{Re}_2(\text{C}_2\text{H}_5\text{COO})_3\text{Cl}_3/\text{ZrP}=1/5$  протягом часу: —  $5 \cdot 10^{-4} \text{ M}$   $\text{Re}_2(\text{C}_2\text{H}_5\text{COO})_3\text{Cl}_3/\text{ZrP}$ , ---- 5 діб; б – системи  $\text{Re}_2(\text{C}_2\text{H}_5\text{COO})_3\text{Cl}_3/\text{ZrP}=1/30$  протягом часу: —  $5 \cdot 10^{-4} \text{ M}$   $\text{Re}_2(\text{C}_2\text{H}_5\text{COO})_3\text{Cl}_3$ , ---- 5 діб

де  $A_t$  – інтенсивність характеристичного піка в період часу  $t$ ,  $A_{\max}$  – максимальна інтенсивність цього піка [7,10].

### Результати та обговорення

#### Електронна спектрофотометрія

У електронному спектрі поглинання (рис. 2) розчинів трихлоротри- $\mu$ -карбоксилатів диренію(ІІІ) спостерігається характеристична смуга поглинання на ділянці  $18000 \text{ cm}^{-1}$ , яка відноситься до  $\delta \rightarrow \delta^*$  переходу почверного зв'язку  $\text{Re}-\text{Re}$  [11]. Спектральна картина розчину інтеркаляції для обох мольних співвідношень речовина/ $\text{ZrP}$  1/5 та 1/30 вказує на батохромний зсув характеристичної смуги поглинання з ділянки  $18000 \text{ cm}^{-1}$  до  $16300 \text{ cm}^{-1}$ , що свідчить про координацію фосфатних груп  $\text{ZrP}$  до кластерного фрагменту  $\text{Re}-\text{Re}$  із заміщенням одного карбоксилатного місточка з утворенням цис-структурного типу, про що також свідчить зміна фіолетового кольору розчину комплексу на блакитний колір.

Для визначення впливу середовища безпосередньо на комплексну сполуку було досліджено поведінку трихлоротри- $\mu$ -карбоксилату диренію(ІІІ) в ацетонітрілі (рис. 3), де з часом характеристична смуга поглинання  $18000 \text{ cm}^{-1}$  не змінює своє положення, але спостерігається поява нового піка при  $13500 \text{ cm}^{-1}$ , що вказує на початок сольволізу  $\text{Re}_2(\text{C}_2\text{H}_5\text{COO})_3\text{Cl}_3$  з розривом карбоксилатних місточків [12].

У результаті здійсеного експерименту встановлено, що перетворення, яких зазнає комплексна сполука у процесі інтеркаляції, не пов'язані з впливом середовища.

#### Порошкова рентгенівська дифракція

На дифрактограмі зразків  $\text{Re}_2(\text{RCOO})_3\text{Cl}_3/\text{ZrP}$  обох мольних співвідношень (1/30, 1/5 речовина/ $\text{ZrP}$ ) спостерігається пік, характерний для а- $\text{ZrP}$ , що свідчить про утворення змішаної фази (рис. 4). Міжшарова відстань цирконій гідрофосфату становить  $7,6 \text{ \AA}$ , де  $6,6 \text{ \AA}$  відповідають саме відстані між шарами, а  $1 \text{ \AA}$  відповідає молекулі води а- $\text{ZrP}$  [13]. Згідно з розрахунковими даними [8], відстань між шарами при паралельному розташуванні зв'язку  $\text{Re}-\text{Re}$  відносно площини цирконій гідрофосфату становитиме  $6,2 \text{ \AA}$ , що в сумі дає міжшарову відстань  $12,8 \text{ \AA}$ .

Незначне зменшення міжшарової відстані нової фази можна пояснити заміщенням кар-

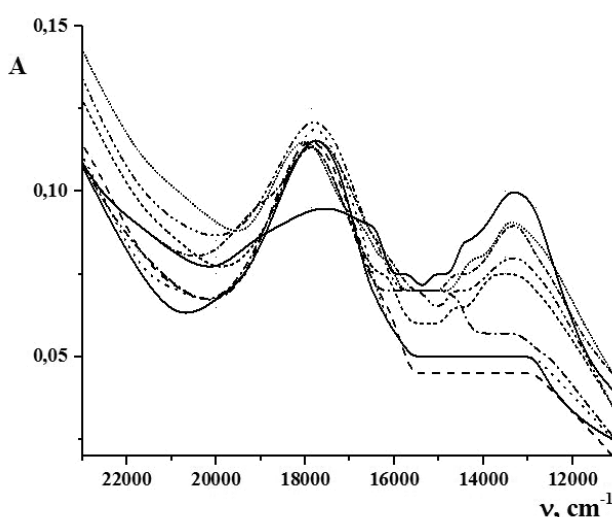


Рис. 3. Електронні спекти поглинання розчину  $\text{Re}_2(\text{C}_2\text{H}_5\text{COO})_3\text{Cl}_3$  в ацетонітрілі протягом часу, год: —  $5 \cdot 10^{-4} \text{ M}$   $\text{Re}_2(\text{C}_2\text{H}_5\text{COO})_3\text{Cl}_3$ ; - - - 1; ····· 2; - - - - 5; - - - - 24; - - - - 27 годин; ..... 48; - - - - 72; —————— 168

боксилатних лігандів на фосфатні групи ZrP.

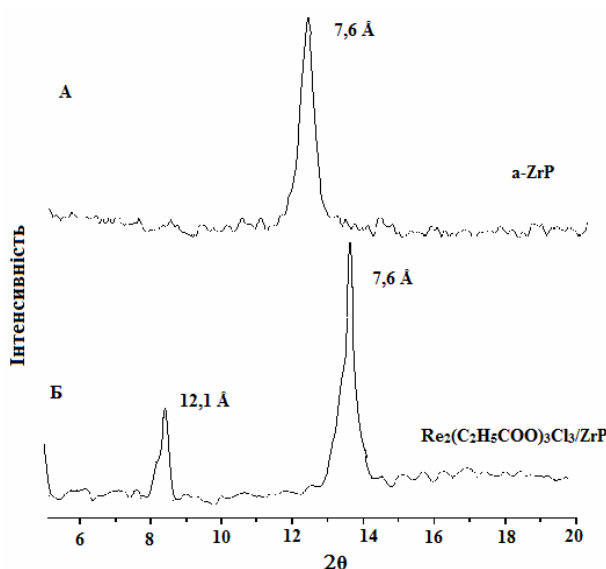


Рис. 4. Дифрактограма зразку: а – ZrP;  
б –  $\text{Re}_2(\text{C}_2\text{H}_5\text{COO})_3\text{Cl}_3/\text{ZrP}$

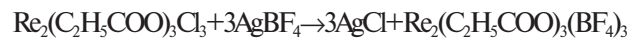
#### IЧ-спектроскопія

В IЧ-спектрі (рис. 5) продукту інтеркаляції спостерігається широка інтенсивна смуга поглинання на ділянці  $3500\text{--}3000 \text{ cm}^{-1}$ , де накладаються коливання  $-\text{OH}$ -групи,  $\text{COO}-\text{H}$ -групи та  $\text{C}-\text{H}$  валентні коливання. Ще одна широка смуга при  $3000\text{--}2200 \text{ cm}^{-1}$  відповідає валентним коливанням  $\text{C}\equiv\text{N}$  ( $2260 \text{ cm}^{-1}$ ),  $\text{P}-\text{H}$  ( $2440 \text{ cm}^{-1}$ ),  $\text{PO}-\text{H}$  ( $2700 \text{ cm}^{-1}$ ) та комбінованим коливанням  $\text{POH}$ -групи ( $2300 \text{ cm}^{-1}$ ). Смуга поглинання на ділянці  $1650 \text{ cm}^{-1}$  (деформаційні коливання  $\text{C}=\text{O}$ ) та  $1400 \text{ cm}^{-1}$  (валентні коливання  $\text{COO}$ ) свідчить

про те, що в результаті реакції в складі комплексної сполуки залишаються карбоксилатні ліганди. Зникнення смуги поглинання при  $900\text{--}950 \text{ cm}^{-1}$ , яка відповідає коливанню ортогональної фосфатної групи ZrP, свідчить про інтеркаляцію сполуки в міжшаровий простір за рахунок координації до комплексної сполуки диренію(ІІІ) через Оксиген P-OH-групи ZrP.

#### Елементний аналіз

Згідно з реакцією:



було розраховано теоретичну масу  $\text{AgCl}$ , яка мала б утворитися у разі відщеплення всіх трьох іонів  $\text{Cl}^-$ . Практично отримали  $2/3$  від розрахованої маси, що вказує на наявність лише двох іонів  $\text{Cl}^-$  в складі нової сполуки, яка утворилася в результаті процесу інтеркаляції.

Враховуючи дані електронної спектроскопії, в результаті процесу інтеркаляції утворюється сполука цис-структурного типу. Результати IЧ-спектроскопії вказують на наявність у складі утвореної сполуки карбоксилатних лігандів, ацетонітрилу та фосфатних груп. За допомогою елементного аналізу було встановлено кількісно  $2$  іони  $\text{Cl}^-$ , що, враховуючи всі попередні дослідження, дозволяє зробити висновок про отримання комплексної сполуки диренію(ІІІ) цис-структурного типу з двома монодентатно координованими фосфатними групами в екваторіальному положенні у міжшаровому просторі ZrP (рис. 6).

#### Сканувальна електронна мікроскопія

СЕМ зразків  $\text{Re}_2(\text{C}_2\text{H}_5\text{COO})_3\text{Cl}_3/\text{ZrP}$  продукту інтеркаляції у співвідношенні речовина/ $\text{ZrP}$  1:5 показують (рис. 7), що гексагональна

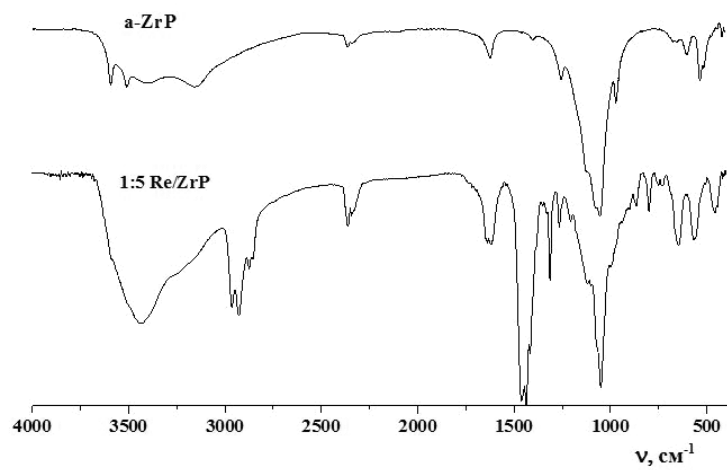


Рис. 5. IЧ спектр a-ZrP та 1:5  $\text{Re}_2(\text{C}_2\text{H}_5\text{COO})_3\text{Cl}_3/\text{ZrP}$

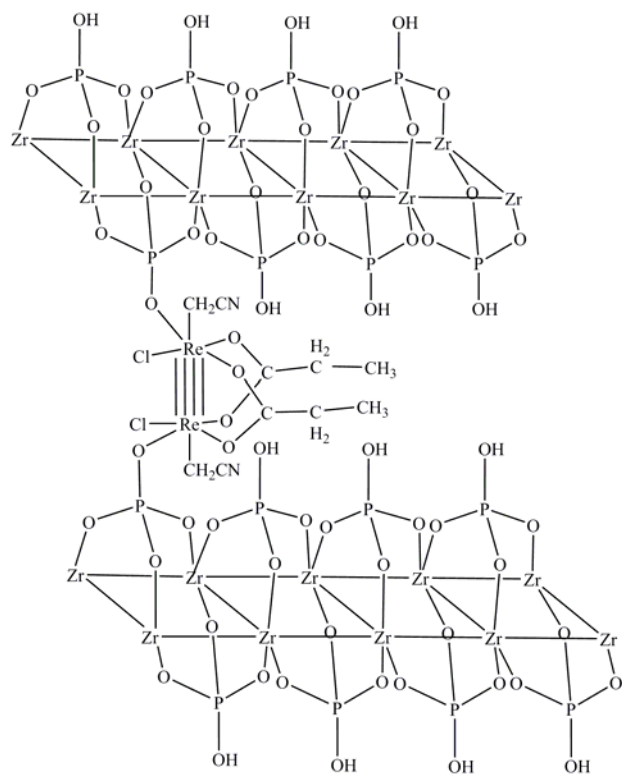


Рис. 6. Схема процесу інтеркаляції  $\text{Re}_2(\text{C}_2\text{H}_5\text{COO})_3\text{Cl}_3$  в міжшаровий простір  $\text{ZrP}$

форма кристалів  $\text{ZrP}$  зберігається повністю. Така форма наночастинок має перевагу перед сферичною формою, адже гексагональні наночастинки легко втримуються у потоці крові та уникують ниркової фільтрації [14].

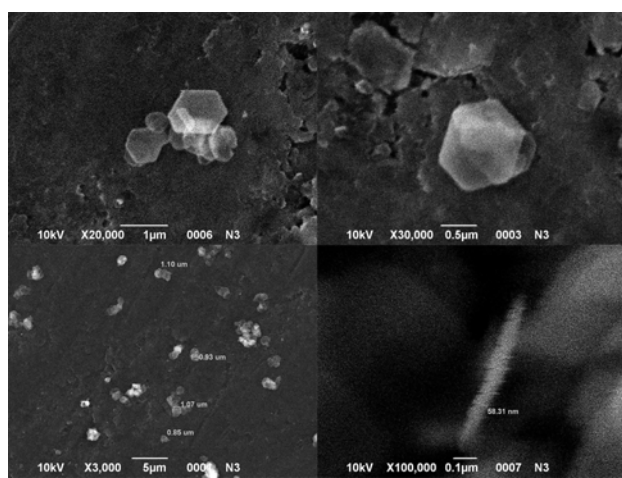


Рис. 7. СЕМ зображення зразків  $\text{Re}_2(\text{C}_2\text{H}_5\text{COO})_3\text{Cl}_3/\text{ZrP}$  1:5

Середній розмір частинок становить близь-

ко 850–1100 нм в діаметрі (рис. 7), товщина наночастинок становить 58,31 нм. Такий розмір дає змогу утримання цільовою раковою тканиною за допомогою розширеної проникаючої і утримуючої здатності цієї тканини [7].

#### Контроль вивільнення

Експеримент проводили при pH 7,4, що імітує середовище плазми людської крові та при pH 4,5, що імітує середовище клітини пухлини [10]. Швидкість вивільнення активного інгредієнта при pH 4,5 склала 2 години 45 хв, в той час як для pH 7,4 швидкість склала 5 год з вивільненням лише 60% речовини (рис. 8).

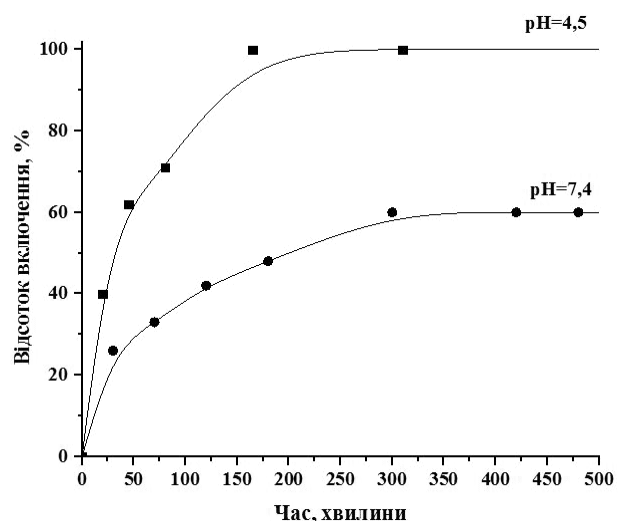


Рис. 8. Швидкість вивільнення активної речовини з продукту інтеркаляції  $\text{Re}_2(\text{C}_2\text{H}_5\text{COO})_3\text{Cl}_3/\text{ZrP}$  при pH 7,4 та pH 4,5

Таким чином, при потраплянні в організм людини біологічно активна речовина у повному обсязі вивільниться лише в середовищі клітини пухлини, що робить можливим pH селективну доставку та збереження активної речовини від шкідливого впливу середовища організму.

#### Висновки

Інтеркаляція трикарбоксилатів діренію(ІІІ) в міжшаровий простір цирконій гідрофосфату проходить з розривом димеру та утворенням сполуки цис-структурного типу з двома фосфатними групами к екваторіальному положенні. Можливість інтеркаляції сполук цього структурного типу в нанорозмірні носії біологічно активних речовин робить їх перспективними для подальших хімічних та біологічних досліджень як протипухлинного агента.

## СПИСОК ЛІТЕРАТУРИ

1. Mjos K.D., Orvig C. Metallodrugs in medicinal inorganic chemistry // Chemical Reviews. – 2014. – Vol.8. – No. 114. – P.4540-4563.
2. Synthesis, characterization, in vivo antitumor properties of the cluster rhenium compound with GABA ligands and its synergism with cisplatin / Shtemenko A.V., Collery P., Shtemenko N.I. et al. // Dalton Trans. – 2009. – Vol.26. – P.5132-5136.
3. Сліпкань А.В., Китова Д.Є., Штеменко О.В. Шаруваті наночастки цирконій гідрофосфату як форму упаковки для trans-Re<sub>2</sub>(RCOO)<sub>2</sub>Cl<sub>4</sub> // Вопр. химии и хим. технологии. – 2016. – № 3. – С.21-25.
4. Сліпкань А.В., Китова Д.Є., Штеменко А.В. Дослідження процесів інтеркаляції біядерних галогенкарбоксилатів ренію(ІІІ) cis-конфігурації у шаруваті наночастки цирконій гідрофосфату // Вопр. химии и хим. технологии. – 2016. – № 5-6. – С.20-25.
5. Сліпкань А.В., Китова Д.Є., Штеменко А.В. Наночастки цирконій гідрофосфату як форма упаковки для дигалогенотетра-μ-карбоксилатів діренію(ІІІ) // Укр. хім. журн. – 2017. – Т.83. – № 7-8. – С.35-41.
6. Zirconium phosphate nano-platelets: a novel platform for drug delivery in cancer therapy / Diaz A., Saxena V., Gonzalez J., David A., Casañas B., Carpenter C., Batteas J.D., Colón J.L., Clearfield A., Hussain M.D. // Chemical Communications. – 2012. – Vol.48. – No. 12. – P.1754-1756.
7. Direct intercalation of cisplatin into zirconium phosphate nanoplatelets for potential cancer nanotherapy / Diaz A., Gonzalez M.L., Perez R. et al. // Nanoscale. – 2013. – Vol.5. – No. 23. – P.11456-11463.
8. Козьмин П.А., Суражская М.Д., Ларина Т.Б. Строение кристаллов соединения Re<sub>2</sub>Cl<sub>3</sub>(HCOO)<sub>3</sub> // Координационная химия. – 1980. – Т.6. – № 6. – С.963-966.
9. Marti A.A., Colon J.L. Direction exchange of tris (2, 2'-bipyridine) ruthenium (II) into an α-zirconium phosphate framework // Inorganic Chemistry. – 2003. – Vol.42. – No. 1. – P.2830-2832.
10. Nanoencapsulation of insulin into zirconium phosphate for oral delivery applications / Diaz A., David A., Perez R. et al. // Biomacromolecules. – 2010. – Vol.9. – No. 11. – P.2465-2470.
11. Синтез и свойства біядерних галогенкарбоксилатів ренію(ІІІ) / Штеменко А.В., Котельникова А.С., Бовыкин Б.А., Голованєва І.Ф. // Журн. неорган. химии. – 1986. – Т.31. – № 2. – С.399-405.
12. Изучение процессов гидролиза біядерных кластерных соединений ренію(ІІІ) различных структурных типов / Егорова Д.Е., Берзенина О.В., Столяренко В.Г., Штеменко А.В. // Вопр. химии и хим. технологии. – 2008. – № 1. – С.27-31.
13. Optical investigations of the chemical microenvironment within the layered solid zirconium phosphate sulfophenyl-

phosphonate / Colon J.L., Yang C., Clearfield A., Martin C.R. // Journal of Physical Chemistry. – 1988. – Vol.92. – No. 20. – P.5777-5781.

14. Zirconium phosphate nanoplatelets: a biocompatible nanomaterial for drug delivery to cancer / Saxena V., Diaz A., Clearfield A., Batteas J.D., Hussain M.D. // Nanoscale. – 2013. – Vol. 5. – No. 6. – P.2328-2336.

Надійшла до редакції 16.01.2018

## NANOPARTICLES OF ZIRCONIUM PHOSPHATE LOADED WITH TRICHLOROTRI-μ-CARBOXYLATES OF DIRHENIUM(III)

A.V. Slipkan, D.E. Kytova, A.V. Shtemenko

Ukrainian State University of Chemical Technology, Dnipro, Ukraine

Zirconium phosphate nanoparticles loaded with trichlorotri-μ-carboxylates of dirhenium(III) of the general formula Re<sub>2</sub>(RCOO)<sub>3</sub>Cl<sub>3</sub> (where R=C<sub>2</sub>H<sub>5</sub>, C<sub>3</sub>H<sub>7</sub>, i-C<sub>3</sub>H<sub>7</sub>) were synthesized. The intercalation process was carried out in an acetonitrile medium. The obtained nanoparticles with the loading of dirhenium(III) complex in the substance/ZrP ratio 1:5 and 1:30 were analyzed by electron and IR-spectroscopies, X-ray powder diffraction and gravimetric analysis. The behavior of the complex compound in the selected solvent was also studied and it was confirmed that the transformations, which the complex compound undergoes as a result of the intercalation process, are not related to the influence of the medium. The diffraction patterns of the samples of both ratios indicate an increase in the interlayer distance of zirconium phosphate from 7.6 Å to 12.1 Å, which shows the successful intercalation of dirhenium(III) compound in the layers of the inorganic matrix. Taking into account the data of all the analysis methods used, it can be considered that the reaction occurs with the formation of a cis-structural compound with two phosphate and two carboxylate groups in the equatorial position and with acetonitrile in the axial position. The release rate of the substance in an acid medium simulating the tumor cell environment was 2 hours and 45 minutes.

**Keywords:** dirhenium(III) complexes; zirconium phosphate; intercalation; layered nanoparticles; synthesis.

## REFERENCES

1. Mjos K.D., Orvig C. Metallodrugs in medicinal inorganic chemistry. *Chemical Reviews*, 2014, vol. 8, no. 114, pp. 4540-4563.
2. Shtemenko A.V., Collery P., Shtemenko N.I., Domasevich K.V., Zabitskaya E.D., Golichenko A.A. Synthesis, characterization, in vivo antitumor properties of the cluster rhenium compound with GABA ligands and its synergism with cisplatin. *Dalton Transactions*, 2009, no. 26, pp. 5132-5136.
3. Slipkan A.V., Kytova D.E., Shtemenko A.V. Sharuvati nanochastky tsyrkoniyu gidrophosphatu yak forma upakovky dl'ya trans-Re<sub>2</sub>(RCOO)<sub>2</sub>Cl<sub>4</sub> [Layered zirconium phosphate nanoparticles as a form of packaging for the trans-Re<sub>2</sub>(RCOO)<sub>2</sub>Cl<sub>4</sub>. *Voprosy Khimii i Khimicheskoi Tekhnologii*, 2016, no. 3, pp. 21-25. (in Ukrainian).]
4. Slipkan A.V., Kytova D.E., Shtemenko A.V. Doslidjennya protsesiv intercalacii biyadernykh galogenkarboksylatov reniyu(III) tsys-konfiguratsii u sharuvati nanochastky zyrkonii hidrofosfatu [Investigation of the intercalation processes of binuclear rhenium(III)

halogen carboxylates with cis-configuration into the layered nanoparticles of zirconium phosphate]. *Voprosy Khimii i Khimicheskoi Tekhnologii*, 2016, no. 5-6, pp. 20-25. (in Ukrainian).

5. Slipkan A.V., Kytova D.E., Shtemenko A.V. Nanochastky zirkonii gidrofosfatu yak forma upakovky dl'ya digalogenotetra- $\mu$ -karboksyilativ direniyu(III) [Zirconium phosphate nanoparticles as a form of packaging for dihalogenotetra- $\mu$ -carboxylates of dirhenium(III)]. *Ukrains'kyi Khimichnyi Zhurnal*, 2017, vol. 83, no. 7-8, pp. 35-41. (in Ukrainian).

6. Diaz A., Saxena V., González J., David A., Casañas B., Carpenter C., Batteas J.D., Colón J.L., Clearfield A., Hussain M.D. Zirconium phosphate nano-platelets: a novel platform for drug delivery in cancer therapy. *Chemical Communications*, 2012, vol. 48, no. 12, pp. 1754-1756.

7. Díaz A., González M.L., Pérez R.J., David A., Mukherjee A., Báez A., Clearfield A., Colón J.L. Direct intercalation of cisplatin into zirconium phosphate nanoplatelets for potential cancer nanotherapy. *Nanoscale*, 2013, vol. 5, no. 23, pp. 11456-11463.

8. Kozmin P.A., Surazhskaya M.D., Larina T.B. Stroenie kristallov soedineniya  $Re_2Cl_3(HCOO)_3$  [The structure of the crystals of the compound  $Re_2Cl_3(HCOO)_3$ ]. *Koordinatsionnaya Khimiya*, 1980, vol. 6, no. 6, pp. 963-966. (in Russian).

9. Martí A.A., Colón J.L. Direction exchange of tris (2,2'-bipyridine) ruthenium (II) into an  $\alpha$ -zirconium phosphate framework. *Inorganic Chemistry*, 2003, vol. 42, pp. 2830-2832.

10. Díaz A., David A., Pérez R., González M.L., Báez A., Wark S.E., Zhang P., Clearfield A., Colón J.L. Nanoencapsulation of insulin into zirconium phosphate for oral delivery applications. *Biomacromolecules*, 2010, vol. 9, no. 11, pp. 2465-2470.

11. Shtemenko A.V., Kotelnikova A.S., Bovykin B.A., Golovaneva I.F. Sintez i svoistva biyadernykh galogenkarboxilatov reniya(III) [Synthesis and properties of binuclear halohencarboxylate rhenium(III)]. *Zhurnal Neorganicheskoi Khimii*, 1986, vol. 31, no. 2, pp. 399-405. (in Russian).

12. Egorova D.E., Berzenina O.V., Stolyarenko V.G., Shtemenko A.V. Izuchenie protsessov gydroliza biyadernykh soedinenii reniya(III) razlichnykh strukturnykh tipov [Study of the processes of hydrolysis of nuclear cluster rhenium(III) compounds of different structural types]. *Voprosy Khimii i Khimicheskoi Tekhnologii*, 2008, no. 1, pp. 27-31. (in Russian).

13. Colon J.L., Yang C., Clearfield A., Martin C.R. Optical investigations of the chemical microenvironment within the layered solid zirconium phosphate sulfophenylphosphonate. *Journal of Physical Chemistry*, 1988, vol. 92, no. 20, pp. 5777-5781.

14. Saxena V., Diaz A., Clearfield A., Batteas J.D., Hussain M.D. Zirconium phosphate nanoplatelets: a biocompatible nanomaterial for drug delivery to cancer. *Nanoscale*, 2013, vol. 5, no. 6, pp. 2328-2336.